

ВОПРОСЫ
ХИМИИ
И ХИМИЧЕСКОЙ
ТЕХНОЛОГИИ

H_2SO_4

CH_3OH

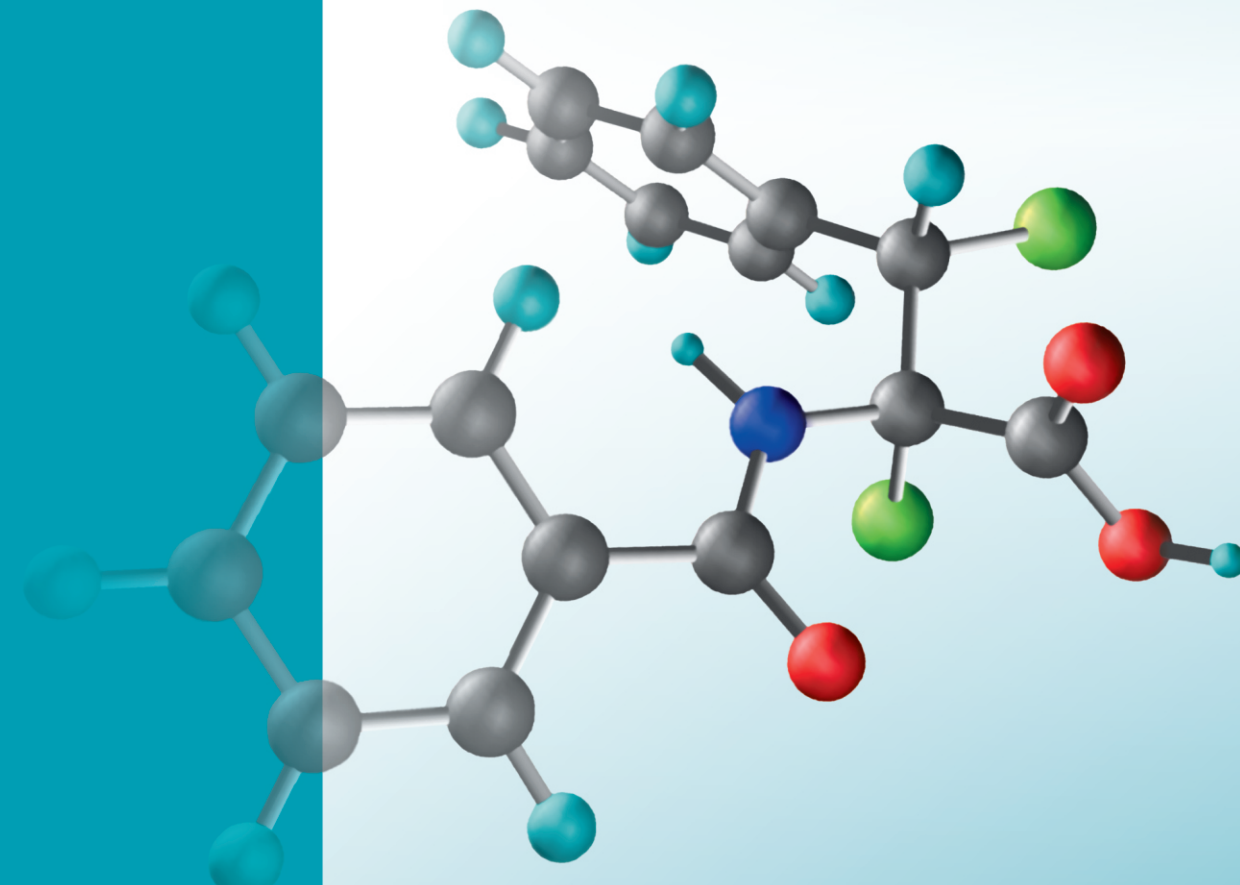
Al_2O_3

Si

$CH_2=CHCl$



УКРАИНСКИЙ ГОСУДАРСТВЕННЫЙ
ХИМИКО-ТЕХНОЛОГИЧЕСКИЙ
УНИВЕРСИТЕТ
г. Днепр



2018

3 (118)

Министерство образования и науки Украины

ГВУЗ “Украинский государственный химико-технологический университет”

Вопросы химии и химической технологии

3 (118), 2018

**научно-технический
журнал**

**выходит
6 раз в год**

Основан в январе 1965 г.

Основатель Днепропетровский химико-технологический институт

CONTENT

CHEMISTRY	5
Berzenina O., Osinna I., Shtemenko N. Physico-chemical methods in analysis of monochlorobenzene influence on the composition of surface helophytes lipids	5
Galaguz V.A., Malovanyi S.M., Panov E.V. Raman spectroscopy of the LiFePO ₄ /C nanocomposite and its electrochemical properties	14
Danilov F.I., Protsenko V.S., Kityk A.A., Bogdanov D.A., Baskevich A.S. Electrodeposition of nanocrystalline nickel-titania composites from an electrolyte on the basis of deep eutectic solvent, ethaline	18
Zubkov S.V., Mazepa A.V., Gelmboldt V.O. Complexes of iron (II) with aminoguanizone of isatin and nitroaminoguanizone of isatin	25
Lavrenyuk H.I., Mykhailichko B.M., Parhomenko V.-P.O. Quantum-chemical simulation of the behavior of [Cu(H ₂ NCH ₂ H ₄ NH ₂)(H ₂ NCH ₂ H ₄ NHC ₂ H ₄ NH ₂)]SiF ₆ chelate complex, a fire retardant-hardener of epoxy resins, under the conditions of burning	31
Nagorniy M.I., Oleksa V.V., Vynnytska S.I., Dron I.A., Chekh B.O., Samaryk V.Ya., Varvarenko S.M. Synthesis and research of polysaccharides modified via Steglich reaction	37
Khomenko O.M., Minaev B.P. Potential curves and spectra of ClO ⁻ and HOCl species studied by ab initio methods	44
Shmychikova O., Luk'yanenko T., Dmitrikova L., Velichenko A. Electrooxidation of 4-clorphenol on modified lead dioxide anodes	50
Yaremko Z.M., Bukliv R.L. Determination of the degree of ions hydration by the electrical conductivity of their aqueous solutions	58
CHEMICAL TECHNOLOGY	64
Znak Z.O., Sukhatskiy Yu.V., Mnykh R.V., Tkach Z.S. Thermochemical analysis of energetics in the process of water sonolysis in cavitation fields	64
Nikolenko N.V., Dubenko A.V., Vashkevich E.Yu., Dmitrikova L.V. Temperature optimum of the process of the dissolution of altered ilmenite in sulfuric acid	70
Ovcharov V.I., Sukhyy K.M., Sokolova L.A., Kalinyuk V.L., Tertyshnyy O.A., Yusupova L.R., Belyanovskaya E.A. The use of the heat-treated rice husks as elastomeric compositions fillers	79
Popova I.V., Mayboroda O.I., Zinchenko N.Yu., Klimentko N.O. Hydrolysis of inulin using citric acid for the preparation of fructose-oligosaccharide products of food industry	90

УДК 620.197.6:678.043:614.841

O.I. Лавренюк, Б.М. Михалічко, В.-П.О. Пархоменко

**КВАНТОВО-ХІМІЧНЕ МОДЕЛЮВАННЯ ПОВЕДІНКИ ХЕЛАТНОГО КОМПЛЕКСУ
 $[Cu(H_2NC_2H_4NH_2)(H_2NC_2H_4NHC_2H_4NH_2)]SiF_6$ – АНТИПІРЕНУ-ЗАТВЕРДНИКА
 ЕПОКСИДНИХ СМОЛ В УМОВАХ ГОРІННЯ**

Львівський державний університет безпеки життєдіяльності

Грунтуючись на результатах вивчення кристалічної структури хелатного комплексу $[Cu(H_2NC_2H_4NH_2)(H_2NC_2H_4NHC_2H_4NH_2)]SiF_6$ – продукту взаємодії затвердника епоксидних смол (поліетиленполіаміну, $H_2N[-C_2H_4NH-]_nH$, де $n=1, 2$) з купром(ІІ) гексафлуоросилікатом (антипіреновою добавкою до епоксіамінних композицій) здійснено квантово-хімічні обчислення термохімічних параметрів (сумарна енергія всіх хімічних зв'язків, енталпії утворення, теплоти згоряння) процесів комплексоутворення та горіння, що відбуваються у системах $H_2N[-C_2H_4NH-]_nH-CuSiF_6$ та $[Cu(H_2NC_2H_4NH_2)(H_2NC_2H_4NHC_2H_4NH_2)]SiF_6-O_2$, відповідно. Квантово-хімічні обчислення здійснювали неемпіричним методом Гартрі-Фока, використовуючи базисний набір орбіталей 6-31G*. Було встановлено, що хелатування іона Cu^{2+} безводної солі купром(ІІ) гексафлуоросилікату одночасно етилендіаміном (*eda*) і діетилентриаміном (*deta*) (складові частини поліетиленполіаміну) та виникнення п'яти міцних донорно-акцепторних зв'язків $Cu(II)\leftarrow N$ спроможне доволі ефективно знижувати горючість не тільки координованих молекул затвердника епоксидних смол, а і модифікованих епоксіамінних композицій. Це добре узгоджується з результатами дериватографічного аналізу та експериментального визначення температур займання і самозаймання кристалічного комплексу $[Cu(edo)(deta)]SiF_6$ та поліетиленполіаміну. Отримані результати обґрунтують перспективу використання хелатних комплексів солей перехідних металів з поліамінами як ефективних антипіренів-затвердників в розробці самозгасаючих епоксіамінних композицій.

Ключові слова: квантово-хімічні обчислення, термохімія, купром(ІІ) хелатні комплекси, антипірен-затвердник епоксидних смол.

Вступ

Солі *d*-металів, зокрема, солі купруму вже давно застосовуються як каталізатори в багатьох важливих хіміко-технологічних процесах перетворення органічних речовин [1,2]. З огляду на це вивчення взаємодії солей купруму, а саме неорганічних солей купруму(ІІ) з поліамінами, викликає неабиякий науковий інтерес, оскільки виникнення координаційних зв'язків $Cu(II)\leftarrow N$ поряд зі здатністю молекул поліаміну хелатувати атоми металу слід розглядати як один з можливих механізмів антипіренової дії сполук купруму на горіння органічних амінів, які використовують як затвердники епоксидних смол [3,4]. Практична ж значимість процесів комплексоутворення зумовлена можливістю використання солей купруму як антипіренів здатних доволі ефективно утруднювати займання різних

органічних амінів, в тому числі, полімерних матеріалів на основі епоксидних смол [5–8]. Для розуміння процесів, що супроводжують зниження горючості амінів під впливом солей купруму(ІІ), нами була здійснена спроба моделювання взаємодії поліетиленполіаміну ($H_2N[-C_2H_4NH-]_nH$, де $n=1, 2$) – затвердника епоксидних смол з купром(ІІ) гексафлуоросилікатом ($CuSiF_6$) – антипіреновою добавкою до епоксіамінних композицій методом квантової хімії і на основі отриманої інформації проаналізувати зміни енергетичного стану реакційної суміші $H_2N[-C_2H_4NH-]_nH-CuSiF_6$ в момент комплексоутворення. В роботі [9] наведені результати синтезу і рентгеноструктурного аналізу хелатного комплексу

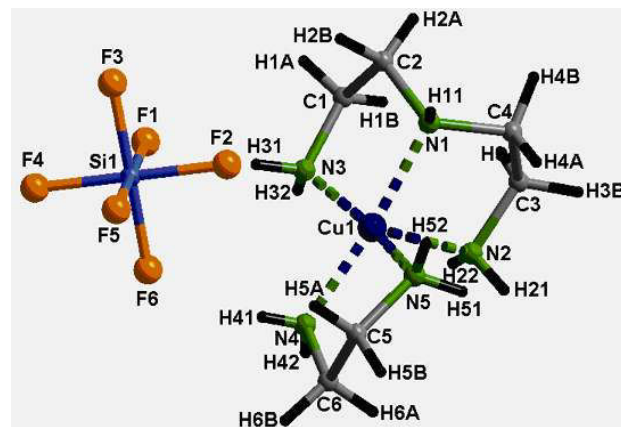


— продукту взаємодії поліетиленполіаміну з безводним CuSiF_6 ; кристалографічні параметри цього комплексу були використані для квантово-хімічного моделювання.

Мета роботи: ґрунтуючись на відомостях про стехіо- та стереохімічні параметри зв'язаних в комплекс $[\text{Cu}(eda)(deta)]\text{SiF}_6$ та вільних молекул етилендіаміну (*eda* — $\text{H}_2\text{NC}_2\text{H}_4\text{NH}_2$) та діетилентриаміну (*deta* — $\text{H}_2\text{NC}_2\text{H}_4\text{NHC}_2\text{H}_4\text{NH}_2$) здійснити квантово-хімічні обчислення енергії хімічних зв'язків та термохімічний аналіз реакцій горіння *eda* та *deta* у вільному та зв'язаному станах; зіставити результати обчислень з результатами експериментального визначення температур зайнання (t_{z}) та самозайнання (t_{c3}), а також дериватографічного аналізу, виконаних для кристалічного комплексу та поліетиленполіаміну [10] і обговорити найбільш вірогідний механізм впливу процесів комплексоутворення на зниження горючості поліамінів.

Квантово-хімічні обчислення

Числове моделювання електронно-молекулярної структури комплексу $[\text{Cu}(eda)(deta)]\text{SiF}_6$ виконували методом квантової хімії за програмою HyperChem professional version 8.0.6 [11], використовуючи неемпіричний метод Гартрі–Фока з базисним набором орбіталей 6-31G*. Для цього за програмою DIAMOND [12] генерували кластерний фрагмент



Кластерний фрагмент кристалічної структури хелатного комплекса $[\text{Cu}(\text{H}_2\text{NC}_2\text{H}_4\text{NH}_2)(\text{H}_2\text{NC}_2\text{H}_4\text{NHC}_2\text{H}_4\text{NH}_2)]\text{SiF}_6$ з пронумерованими атомами (P_2_1/n ; $a=8,9945(4)$, $b=9,6067(3)$, $c=15,7357(8)$ Å, $\beta=91,460(4)^\circ$)

$[\text{Cu}(\text{H}_2\text{NC}_2\text{H}_4\text{NH}_2)(\text{H}_2\text{NC}_2\text{H}_4\text{NHC}_2\text{H}_4\text{NH}_2)]\text{SiF}_6$

(рисунок), використовуючи відомості про кристалічну структуру хелатного комплексу $[\text{Cu}(eda)(deta)]\text{SiF}_6$ [9]. Ефективні заряди на атомах в координаційному поліедрі $[\text{Cu}(\text{N}_1\text{N}_2\text{N}_3)(\text{N}_4\text{N}_5)]$ кластеру обчислювали без геометричної оптимізації фрагменту, тоді як для вільних молекул *eda* і *deta* геометрія молекул була оптимізована (табл. 1). Визначені енергії хімічних зв'язків для

Таблиця 1

Розподіл ефективних зарядів на атомах (у є) в хелатному комплексі $[\text{Cu}(\text{H}_2\text{NC}_2\text{H}_4\text{NH}_2)(\text{H}_2\text{NC}_2\text{H}_4\text{NHC}_2\text{H}_4\text{NH}_2)]\text{SiF}_6$ та молекулах етилендіаміну та діетилентриаміну

Комплексний катіон $[\text{Cu}(eda)(deta)]^{2+}$									
Cu1 -0,672	N1 -0,026		N2 -0,148		N3 -0,114		N4 -0,094		N5 -0,087
	H11 +0,189		H21 +0,189	H22 +0,197	H31 +0,245	H32 +0,193	H41 +0,232	H42 +0,167	H51 +0,184
C1 -0,029		C2 -0,044		C3 -0,041		C4 -0,050		C5 -0,033	
H1A +0,063	H1B +0,060	H2A +0,059	H2B +0,088	H3A +0,077	H3B +0,052	H4A +0,073	H4B +0,064	H5A +0,108	H6B +0,071
Комплексний аніон $[\text{SiF}_6]^{2-}$									
Si1 +1,177		F1 -0,344		F2 -0,437		F3 -0,416		F4 -0,437	
F5 -0,312		F6 -0,450							
Молекула етилендіаміну (після оптимізації)									
N4 -0,366		N5 -0,360		C5 -0,026		C6 -0,021			
H41 +0,150	H42 +0,166	H51 +0,180	H52 +0,136	H5A +0,044	H5B +0,028	H6A +0,055	H6B +0,015		
Молекула діетилентриаміну (після оптимізації)									
N1 -0,266	N2 -0,381	N3 -0,393	C1 -0,020	C2 -0,035	C3 -0,028	C4 -0,045			
H11 +0,175	H21 +0,161	H22 +0,178	H31 +0,163	H32 +0,183	H1A +0,025	H1B +0,045	H2A +0,041	H2B +0,034	H3A +0,052
									H3B +0,022
									H4A +0,055
									H4B +0,036

Таблиця 2

Енергії хімічних зв'язків в кластерному фрагменті $[Cu(eda)(deta)]SiF_6$ та молекулах етилендіаміну і діетилентриаміну

Хімічна одиниця	Структурний фрагмент	Сумарна енергія всіх хімічних зв'язків, кДж/моль
$[Cu(eda)(deta)]SiF_6$		12491,3
eda (після оптимізації)		4117,6
deta (після оптимізації)		7108,9

кластеру, а також для оптимізованих молекул *eda* і *deta*, наведені в табл. 2. Всі обчислення виконували виходячи з припущення, що кластерний фрагмент хелатного комплексу (як і молекули *eda* і *deta*) перебувають в газоподібному стані.

Обчислені значення енергії хімічних зв'язків для *eda* і *deta* та досліджуваного структурного фрагменту комплексу $[Cu(eda)(deta)]SiF_6$ дають змогу встановити такі фізико-хімічні характеристики як стандартна ентальпія утворення речовин в газоподібному стані і стандартна ентальпія згоряння (або теплотворна спроможність) [13], а також робити певні висновки стосовно ролі солей купруму як ефективних антипіренів у разі створення полімерних композицій.

Термохімічний аналіз

За законом Гесса процес утворення газоподібних етилендіаміну ($C_2N_2H_8$) і діетилентріаміну ($C_4N_3H_{13}$) в стандартних умовах із графіту, молекулярних водню і азоту можна розглядати як такий, що відбувається у дві стадії:

$$6C(\text{графіт}) = 6C(\text{г}), \Delta H_1^\circ; \quad (1)$$

$$\Delta H_1^\circ = 6E_{\text{at}}(\text{графіту}) \text{ (кДж)}$$

$$6C(\text{г}) + 10,5H_2(\text{г}) + 2,5N_2(\text{г}) = C_2N_2H_8(\text{г}) + C_4N_3H_{13}(\text{г}), \Delta H_2^\circ; \quad (2)$$

$$\Delta H_2^\circ = \Delta H_1^\circ + 10,5E_{\text{H-H}} + 2,5E_{\text{N=N}} - SE_{\text{3в.}}(C_2N_2H_8 + C_4N_3H_{13}) \text{ (кДж).}$$

Зважаючи на відомі значення $E_{\text{at.}}$ (графіту), $E_{\text{H-H}}$, $E_{\text{N=N}}$ та обчислені значення $\Sigma E_{\text{3в.}}(C_2N_2H_8 + C_4N_3H_{13})$ (табл. 2), які відповідно дорівнюють (у кДж/моль) 715,1, 432,0, 941,7 та 11226,5, маємо:

$$\Delta H_{\text{утв.}}^\circ(C_2N_2H_8 + C_4N_3H_{13})(\text{г}) = \Delta H_2^\circ.$$

Утворення ж хелатного комплексу $[Cu(C_2N_2H_8)(C_4N_3H_{13})]SiF_6(\text{г})$ здійснюється у чотири стадії, виходячи з графіту, міді, кремнію, молекулярних водню, фтору і азоту (реакції 3–6):

$$6C(\text{графіт})=6C(\text{г}), \Delta H_3^\circ; \quad (3)$$

$$\Delta H_3^\circ = E_{\text{ат.}}(\text{графіту}) \text{ (кДж)}$$

$$\text{Cu}(\text{к})=\text{Cu}(\text{г}), \Delta H_4^\circ; \quad (4)$$

$$\Delta H_4^\circ = E_{\text{ат.}}(\text{Cu}) \text{ (кДж)}$$

$$\text{Si}(\text{к})=\text{Si}(\text{г}), \Delta H_5^\circ; \quad (5)$$

$$\Delta H_5^\circ = E_{\text{ат.}}(\text{Si}) \text{ (кДж)}$$

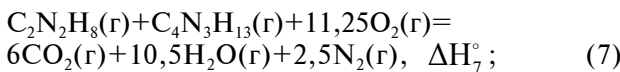
$$6C(\text{г})+\text{Cu}(\text{г})+\text{Si}(\text{г})+3F_2(\text{г})+10,5H_2(\text{г})+ \\ +2,5N_2(\text{г})=[\text{Cu}(\text{C}_2\text{N}_2\text{H}_8)(\text{C}_4\text{N}_3\text{H}_{13})]\text{SiF}_6(\text{г}), \\ \Delta H_6^\circ; \quad (6)$$

$$\Delta H_6^\circ = \Delta H_3^\circ + \Delta H_4^\circ + \Delta H_5^\circ + 3E_{\text{F-F}} + 10,5E_{\text{H-H}} + \\ + 2,5E_{\text{N=N}} - SE_{\text{зв.}}([\text{Cu}(\text{C}_2\text{N}_2\text{H}_8)(\text{C}_4\text{N}_3\text{H}_{13})]\text{SiF}_6) \text{ (кДж).}$$

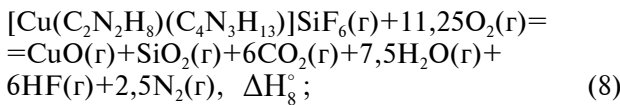
Оскільки $E_{\text{ат.}}(\text{графіту})$, $E_{\text{ат.}}(\text{Cu})$, $E_{\text{ат.}}(\text{Si})$, $E_{\text{F-F}}$, $E_{\text{H-H}}$, $E_{\text{N=N}}$ та обчислене значення $\Sigma E_{\text{зв.}}([\text{Cu}(\text{C}_2\text{N}_2\text{H}_8)(\text{C}_4\text{N}_3\text{H}_{13})]\text{SiF}_6)$ (табл. 2) відповідно становлять (у кДж/моль) 715,1, 337,6, 452,1, 154,8, 432,0, 941,7 та 12491,3, тоді

$$\Delta H_{\text{утв.}}^\circ([\text{Cu}(\text{C}_2\text{N}_2\text{H}_8)(\text{C}_4\text{N}_3\text{H}_{13})]\text{SiF}_6)(\text{г})= \\ \Delta H_{\text{утв.}}^\circ([\text{Cu}(\text{C}_2\text{N}_2\text{H}_8)(\text{C}_4\text{N}_3\text{H}_{13})]\text{SiF}_6)(\text{г})=\Delta H_6^\circ$$

Тепер виконаємо термохімічні обчислення процесів повного згоряння етилендіаміну і діетилентриаміну у вільному та у зв'язаному у комплексі станах. Найбільш вірогідний перебіг цих процесів відбуватиметься за рівняннями реакцій (7) та (8):



$$\Delta H_7^\circ = 6\Delta H_{\text{утв.}}^\circ \text{CO}_2(\text{г})+10,5\Delta H_{\text{утв.}}^\circ \text{H}_2\text{O}(\text{г})- \\ -(\Delta H_{\text{утв.}}^\circ \text{C}_2\text{N}_2\text{H}_8(\text{г})+\Delta H_{\text{утв.}}^\circ \text{C}_4\text{N}_3\text{H}_{13}(\text{г}))$$



$$\Delta H_8^\circ = \Delta H_{\text{утв.}}^\circ \text{CuO}(\text{г})+\Delta H_{\text{утв.}}^\circ \text{SiO}_2(\text{г})+ \\ +6\Delta H_{\text{утв.}}^\circ \text{CO}_2(\text{г})+7,5\Delta H_{\text{утв.}}^\circ \text{H}_2\text{O}(\text{г})+ \\ +6\Delta H_{\text{утв.}}^\circ \text{HF}(\text{г})- \\ -\Delta H_{\text{утв.}}^\circ [\text{Cu}(\text{C}_2\text{N}_2\text{H}_8)(\text{C}_4\text{N}_3\text{H}_{13})]\text{SiF}_6(\text{г})$$

Маючи довідниківі значення стандартних енталпій утворення газоподібних CO_2 , H_2O , HF , CuO , SiO_2 та отримані значення

$$\Delta H_{\text{утв.}}^\circ (\text{C}_2\text{N}_2\text{H}_8+\text{C}_4\text{N}_3\text{H}_{13})(\text{г}),$$

$$\Delta H_{\text{утв.}}^\circ [\text{Cu}(\text{C}_2\text{N}_2\text{H}_8)(\text{C}_4\text{N}_3\text{H}_{13})]\text{SiF}_6(\text{г}),$$

які відповідно дорівнюють (у кДж/моль) $-393,5$, $-241,8$, $-270,7$, $+320,0$, $-326,3$ та $-45,65$, $-56,45$, неважко буде обчислити значення стандартної енталпії згоряння ($\Delta H_{\text{зг.}}^\circ$) та теплотворної спроможності ($Q_{\text{зг.}}$) для реакцій (7) та (8). Тоді маємо:

$$\Delta H_{\text{зг.}}^\circ (\text{C}_2\text{N}_2\text{H}_8+\text{C}_4\text{N}_3\text{H}_{13})(\text{г})=\Delta H_7^\circ,$$

$$\Delta H_{\text{зг.}}^\circ [\text{Cu}(\text{C}_2\text{N}_2\text{H}_8)(\text{C}_4\text{N}_3\text{H}_{13})]\text{SiF}_6(\text{г})=\Delta H_8^\circ.$$

Результати термохімічних обчислень зведені в табл. 3.

Обговорення результатів

Як показали результати квантово-хімічних обчислень, електронна густина у вільних молекулах етилендіаміну та діетилентриаміну, яка здебільшого концентрувалась на електронегативних атомах нітрогену, після хелатування атомів металу ефективно переноситься на іон Cu^{2+} комплексного катіону завдяки утворенню донорно-акцепторних зв'язків $\text{Cu}(\text{II})\leftarrow\text{N}$. Так, якщо у вільних молекулах етилендіаміну та діетилентриаміну ефективний заряд (d) на атомах нітрогену становив $-0,266\div-0,393$ є, то після хелатування у фрагменті $[\text{Cu}(eda)(data)]^{2+}$ ефективний заряд на координованих атомах N змінюється до $-0,026\div-0,148$ є (табл. 1). Цей факт здійснений раз підтверджує, що процес комплексоутворення супроводжується вивільненням значної енергії

Таблиця 3

Результати термохімічних обчислень, виконаних для етилендіаміну, діетилентриаміну та хелатного комплексу $[\text{Cu}(\text{C}_2\text{N}_2\text{H}_8)(\text{C}_4\text{N}_3\text{H}_{13})]\text{SiF}_6$

Речовина	$\Delta H_{\text{утв.}}^\circ$, кДж/моль	$\Delta H_{\text{зг.}}^\circ$, кДж/моль	$Q_{\text{зг.}}$, кДж/кг
$\text{C}_2\text{N}_2\text{H}_8(\text{г})+\text{C}_4\text{N}_3\text{H}_{13}(\text{г})$	-45,65	-4854,25	29780,0
$[\text{Cu}(\text{C}_2\text{N}_2\text{H}_8)(\text{C}_4\text{N}_3\text{H}_{13})]\text{SiF}_6(\text{г})$	-56,35	-5748,6	15600,0

(обчислена квантово-хімічно енергія хелатування атома купруму молекулами *eda* і *data* становить 337,5 кДж).

Такі зміни в енергетичному стані етилендіаміну та діетилентриаміну в момент утворення комплексу і вплив цього ефекту на зниження їх горючості добре узгоджується з результатами експерименту. Зокрема, термохімічні розрахунки показали, що теплотворна спроможність хелатного комплексу $[\text{Cu}(\text{eda})(\text{data})]\text{SiF}_6$ (г), стосовно молекул *eda* і *data* в газоподібному стані знижується майже вдвічі. Експериментальне ж визначення температур зайнання й самозайнання, яке було виконане для кристалів хелатного комплексу $[\text{Cu}(\text{eda})(\text{data})]\text{SiF}_6$ [9], вказує на те, що етилендіамін і діетилентриамін у зв'язаному в комплекс стані взагалі перетворюються у негорючі речовини. Так, зайнання і самозайнання поліетиленполіаміну, до складу якого власне входить етилендіамін і діетилентриамін, після зв'язування в комплекс взагалі не спостерігається, хоча t_{g} і t_{c} , для вільного поліетиленполіаміну становить 136°C і 393°C, відповідно.

Поза всяким сумнівом, причиною цього є додаткові хімічні зв'язки, які виникають між горючими молекулами етилендіаміну і діетилентриаміну і негорючою неорганічною сіллю CuSiF_6 . На руйнування саме цих зв'язків ($\text{Cu}(\text{II})\leftarrow\text{N}$) і витрачається левова частка теплої енергії, яка надходить від джерела запалювання. Скажемо більше, аби з'явилось полум'я, треба, щоб етилендіамін і діетилентриамін, що при нагріванні вивільняються із зв'язаного стану, утворювали пароповітряну суміш, в якій би концентрація насиченої пари етилендіаміну і діетилентриаміну перевищувала нижню концентраційну межу поширення полум'я. Втім, навіть за температури, що перевищує 450°C, зайнання етилендіаміну і діетилентриаміну над розплавленою комплексною сполукою не наставало, що свідчить про недостатню для полум'яного горіння концентрацію пари етилендіаміну і діетилентриаміну в реакційній суміші. Як показали результати дериватографічних досліджень [10], на відміну від поліетиленполіаміну, повна втрата маси якого спостерігається в температурному інтервалі 20–170°C, розкладання хелатного комплексу $[\text{Cu}(\text{eda})(\text{data})]\text{SiF}_6$ протікає в чотири стадії і завершується за температуру 544°C. Отже в антипрені- затверднику молекули *eda* і *data* міцно утримуються в комплексі, тому миттєве їх випаровування, а відтак, і зайнання стає утрудненим. В цьому, очевидно, й полягає основна причина ефективного антипренового впли-

ву солей d-металів на горіння нітрогеновмісних вуглеводнів.

Висновки

Проведені квантово-хімічні та термохімічні обчислення процесу комплексутворення засвідчили, що формування в системі $\text{H}_2\text{N}-[\text{C}_2\text{H}_4\text{NH}]_n\text{H}-\text{CuSiF}_6$ хелатного комплексу $[\text{Cu}(\text{eda})(\text{data})]\text{SiF}_6$ супроводжується зміною енергетичного стану для хімічно зв'язаного етилендіаміну і діетилентриаміну стосовно їх вільних молекул. Окрім того, процес сполучення негорючої неорганічної солі з горючою органічною речовиною в міцний комплекс забезпечує пониження горючості нітрогеновмісного вуглеводню, що є важливою ланкою на шляху до реалізації складного механізму антипренового впливу солей d-металів на горіння органічних амінів. Тому сполуки купруму, і зокрема CuSiF_6 , з успіхом можна використовувати як антипренову добавку, спроможну ефективно знижувати горючість синтетичних полімерів на основі епоксіамінних композицій.

СПИСОК ЛІТЕРАТУРИ

1. Temkin O.N., Pozdeev P.P. Homogeneous Catalysis with Metal Complexes: Kinetic Aspects and Mechanisms. – John Wiley & Sons, 2012. – 830 p.
2. Mykhalichko B.M., Temkin O.N., Mys'kiv M.G. Polynuclear complexes of copper(I) halides: coordination chemistry and catalytic transformation of alkynes // Russian Chemical Reviews. – 2000. – Vol.69. – No. 11. – P.957-984.
3. A new copper(II) chelate complex with tridentate ligand: synthesis, crystal and molecular electronic structure of aqua-(diethylenetriamine-N, N', N")-copper(II) sulfate monohydrate and its fire retardant properties / Lavrenyuk H., Mykhalichko O., Zarychta B., Olijnyk V., Mykhalichko B. // Journal of Molecular Structure. – 2015. – Vol.1095. – P.34-41.
4. Synthesis, structural, and thermal characterization of a new binuclear copper(II) chelate complex bearing an amine-hardener for epoxy resins / Lavrenyuk H., Mykhalichko O., Zarychta B., Olijnyk V., Mykhalichko B. // Journal of Coordination Chemistry. – 2016. – Vol.69. – No. 18. – P.2666-2676.
5. Hamerton I., Howlin B., Jepson P. Metals and Coordination Compounds as Modifiers for Epoxy Resins // Coordination Chemistry Review. – 2002. – Vol.224. – P.67-85.
6. A new flame retardant on the basis of diethylenetriamine copper(II) sulfate complex for combustibility suppressing of epoxy-amine composites / Lavrenyuk H., Kochubei V., Mykhalichko O., Mykhalichko B. // Fire Safety Journal. – 2016. – Vol.80. – P.30-37.
7. Модифіковані купрум(ІІ) сульфатом самозгасаючі епоксиамінні композиції: технологія отримання та горючі

властивості / Лавренюк О.І., Михалічко Б.М., Пастухов П.В., Петровський В.Л. // Пожежна безпека. – 2014. – № 25. – С.69-73.

8. Лавренюк О.І., Михалічко Б.М. Рентгенофазовий та ІЧ-спектроскопічний аналіз процесу структурування модифікованих епоксіамінних композицій за участю антіпірену $[Cu(\text{діетиленетріамін})\text{H}_2\text{O}]\text{SO}_4\cdot\text{H}_2\text{O}$ // Вопр. химии и хим. технологий. – 2016. – Т.5-6 (109). – С.73-77.

9. Пархоменко В.-П.О., Лавренюк О.І., Михалічко Б.М. Роль антіпіrena-затвердника у формуванні самозгасаючих епоксіамінних композицій // Науковий Вісник: Цивільний Захист та Пожежна Безпека. – 2017. – № 1(3). – С.84-89.

10. Вплив купрум(II) гексафлуоросилікату на термоокисну стійкість самозгасаючих епоксіамінних композицій / Пархоменко В.-П.О., Кочубей В.В., Михалічко Б.М., Лавренюк О.І., Павловський Ю.П. // Пожежна Безпека. – 2017. – № 30. – С.132-136.

11. HyperChem: Molecular Modeling System, Hypercube, Inc., Release 8.0.6. Florida, USA, 2009.

12. Brandenburg K. Diamond, Version 2.1c, Crystal Impact GbR. Bonn, 1998.

13. Hurley M.J. SFPE Handbook of Fire Protection Engineering. – Springer, 2016. – 3493 p.

Надійшла до редакції 12.02.2018

QUANTUM-CHEMICAL SIMULATION OF THE BEHAVIOR OF $[Cu(H_2NC_2H_4NH_2)(H_2NC_2H_4NHC_2H_4NH_2)]SiF_6$ CHELATE COMPLEX, A FIRE RETARDANT-HARDENER OF EPOXY RESINS, UNDER THE CONDITIONS OF BURNING

H.I. Lavrenyuk, B.M. Mykhalichko, V.-P.O. Parhomenko

Lviv State University of Life Safety, Lviv, Ukraine

Based on the results of the crystal structure study of $[Cu(H_2NC_2H_4NH_2)(H_2NC_2H_4NHC_2H_4NH_2)]SiF_6$ chelate complex which is the product of the interaction between a hardener of epoxy resins (polyethylenepolyamine, $H_2N[-C_2H_4NH-]_nH$, where $n=1$ or 2) and copper(II) hexafluorosilicate (a fire-retardant added to epoxy-amine composites), we carried out the quantum-chemical calculations of the thermochemical parameters (total energy of all chemical bonds, formation enthalpy and combustion heat) of the processes of complexing and burning that occur in $H_2N[-C_2H_4NH-]_nH-CuSiF_6$ and $[Cu(H_2NC_2H_4NH_2)(H_2NC_2H_4NHC_2H_4NH_2)]SiF_6-O_2$ systems, respectively. The ab initio quantum-chemical calculations have been performed using the restricted Hartree-Fock method with a 6-31G basis set. It was ascertained that concurrent chelating Cu^{2+} ion of anhydrous copper(II) hexafluorosilicate salt by both ethylenediamine (eda) and diethylenetriamine (deta) (the component parts of polyethylenepolyamine) and appearing five strong donor-acceptor bonds $Cu(II)\leftarrow N$ allows very efficiently diminishing the combustibility not only of the coordinated molecules of the hardener of epoxy resins, but also of the modified epoxy-amine composites. This is in good agreement with the results of a derivatographic analysis and experimental determination of ignition point and self-ignition point of the $[Cu(eda)(deta)]SiF_6$ crystal complex and polyethylenepolyamine. The obtained results justify the use of chelate complexes of transition metals salts with polyamines as efficient fire retardant-hardeners for the development of the self-extinguishing epoxy-amine composites.*

Keywords: quantum-chemical calculation; thermochemistry; copper (II) chelate complexes; fire retardant-hardener; epoxy resins.

REFERENCES

- Temkin O.N., Pozdeev P.P., *Homogeneous catalysis with metal complexes: kinetic aspects and mechanisms*. John Wiley & Sons, 2012. 830 p.
- Mykhalichko B.M., Temkin O.N., Mys'kiv M.G. Polynuclear complexes of copper(I) halides: coordination chemistry and catalytic transformation of alkynes. *Russian Chemical Reviews*, 2000, vol. 69, pp. 957-984.
- Lavrenyuk H., Mykhalichko O., Zarychta B., Olijnyk V., Mykhalichko B. A new copper(II) chelate complex with tridentate ligand: synthesis, crystal and molecular electronic structure of aqua-(diethylenetriamine-N, N', N'')-copper(II) sulfate monohydrate and its fire retardant properties. *Journal of Molecular Structure*, 2015, vol. 1095, pp. 34-41.
- Lavrenyuk H., Mykhalichko O., Zarychta B., Olijnyk V., Mykhalichko B. Synthesis, structural, and thermal characterization of a new binuclear copper(II) chelate complex bearing an amine-hardener for epoxy resins. *Journal of Coordination Chemistry*, 2016, vol. 69, pp. 2666-2676.
- Hamerton I., Howlin B.J., Jepson P. Metals and coordination compounds as modifiers for epoxy resins. *Coordination Chemistry Reviews*, 2002, vol. 224, pp. 67-85.
- Lavrenyuk H., Kochubei V., Mykhalichko O., Mykhalichko B. A new flame retardant on the basis of diethylenetriamine copper(II) sulfate complex for combustibility suppressing of epoxy-amine composites. *Fire Safety Journal*, 2016, vol. 80, pp. 30-37.
- Lavrenyuk O.I., Mykhalitchko B.M., Pastuhov P.V., Petrovskii V.L. Modyfikovani kuprum(II) sulfatom samozhasayuchi epoxyminni kompozytci: tekhnologiya otymannia ta goriuchi vlastyvosti [Self-extinguishing epoxy-amine compositions modified by copper(II) sulphate: manufacturing technology and combustible properties]. *Pozhezhna Bezpeka*, 2014, no. 25, pp. 69-73. (in Ukrainian).
- Lavrenyuk O.I., Mykhalichko B.M. Rentgenofazovy ta ICh-spektroskopichnyi analiz protsesu strukturuvannia modyfikovanykh epoksyaminnykh kompozycii za uchastiu antypirenu $[Cu(\text{diethylenetriamine})\text{H}_2\text{O}]\text{SO}_4\cdot\text{H}_2\text{O}$ [X-ray powder diffraction and infra-red spectroscopic analysis of structuring process of modified epoxy-amine composites with flame retardant participation of $[Cu(\text{diethylenetriamine})\text{H}_2\text{O}]\text{SO}_4\cdot\text{H}_2\text{O}$]. *Voprosy Khimii i Khimicheskoi Tekhnologii*, 2016, no. 5-6, pp. 73-77. (in Ukrainian).
- Parhomenko V.-P. O. Lavrenyuk O.I., Mykhalichko B.M. Rol' antypirena-zatverdnyka u formuvanni samozgasayuchykh epoxyminnih kompozycii [The fire retardant-hardener role in the forming the self-extinguishing epoxy-amine composites]. *Naukovyi Visnyk: Cyivil'nyi Zakhyyst ta Pozhezhna Bezpeka*, 2017, no. 1(3), pp. 84-89. (in Ukrainian).
- Parhomenko V.-P.O., Kochubei V.V., Mykhalichko B.M., Lavrenyuk O.I., Pavlovskyi Yu.P. Vplyv kuprum(II) heksafluorosilikatu na termookysnu stiikist' samozgasayuchykh epoksy-aminnykh kompozycii [Influence of the copper(II) hexafluorosilicate onto thermal-oxidative stability of the self-extinguishing epoxy-amine composites]. *Pozhezhna Bezpeka*, 2017, no. 30, pp. 132-136. (in Ukrainian).
- HyperChem: molecular modeling system, Hypercube, Inc., release 8.0.6. Florida, USA, 2009.
- Brandenburg K., Diamond, version 2.1c. Crystal Impact GbR, Bonn, 1998.
- Hurley M.J., SFPE Handbook of fire protection engineering. Springer, 2016. 3493 p.

H.I. Lavrenyuk, B.M. Mykhalichko, V.-P.O. Parhomenko